

<b>Zeitschrift:</b>	Geomatik Schweiz : Geoinformation und Landmanagement = Géomatique Suisse : géoinformation et gestion du territoire = Geomatica Svizzera : geoinformazione e gestione del territorio
<b>Herausgeber:</b>	geosuisse : Schweizerischer Verband für Geomatik und Landmanagement
<b>Band:</b>	101 (2003)
<b>Heft:</b>	6: FHBB : 40 Jahre Vermessung und Geomatik = FHBB : 40 années de géomatique
<b>Artikel:</b>	Nichtparametrische Regression am Beispiel der Helmerttransformation
<b>Autor:</b>	Fischer, B. / Schwaninger, M. / Sievers, B.
<b>DOI:</b>	<a href="https://doi.org/10.5169/seals-236035">https://doi.org/10.5169/seals-236035</a>

### Nutzungsbedingungen

Die ETH-Bibliothek ist die Anbieterin der digitalisierten Zeitschriften auf E-Periodica. Sie besitzt keine Urheberrechte an den Zeitschriften und ist nicht verantwortlich für deren Inhalte. Die Rechte liegen in der Regel bei den Herausgebern beziehungsweise den externen Rechteinhabern. Das Veröffentlichen von Bildern in Print- und Online-Publikationen sowie auf Social Media-Kanälen oder Webseiten ist nur mit vorheriger Genehmigung der Rechteinhaber erlaubt. [Mehr erfahren](#)

### Conditions d'utilisation

L'ETH Library est le fournisseur des revues numérisées. Elle ne détient aucun droit d'auteur sur les revues et n'est pas responsable de leur contenu. En règle générale, les droits sont détenus par les éditeurs ou les détenteurs de droits externes. La reproduction d'images dans des publications imprimées ou en ligne ainsi que sur des canaux de médias sociaux ou des sites web n'est autorisée qu'avec l'accord préalable des détenteurs des droits. [En savoir plus](#)

### Terms of use

The ETH Library is the provider of the digitised journals. It does not own any copyrights to the journals and is not responsible for their content. The rights usually lie with the publishers or the external rights holders. Publishing images in print and online publications, as well as on social media channels or websites, is only permitted with the prior consent of the rights holders. [Find out more](#)

**Download PDF:** 12.02.2026

**ETH-Bibliothek Zürich, E-Periodica, <https://www.e-periodica.ch>**

# Nichtparametrische Regression am Beispiel der Helmerttransformation

Zur Beschäftigung der Geomatik-Ingenieurinnen und -Ingeniere FH wird in Zukunft vermehrt die Transformation und Interpolation bestehender Punktfelder in einen neuen Bezugsrahmen gehören. In einer Diplomarbeit mit anschliessender Weiterbearbeitung befassten sich die Lehrbereiche Mathematik und geodätische Statistik vertieft mit der Thematik der Transformationen und der damit einhergehenden Beurteilung und Verteilung der Restklaffungen.

Der vorliegende Artikel zeigt, wie mit dem Kollokationsansatz am Beispiel der Helmerttransformation systematische Fehleranteile geschätzt werden können. Dies kann dazu dienen, Gebiete ähnlichen Spannungsverhaltens abzugrenzen. Diese Gebiete können dann mit einer allgemeinen oder maschenweisen Affintransformation (z.B. Helmert, TRANSINT, FINELTRA) in den neuen Bezugsrahmen überführt werden.

*A l'avenir, les ingénieurs géomaticiens / géomatiennes HES s'occuperont de plus en plus de la transformation et de l'interpolation de séries de points existants par rapport à de nouveaux cadres de référence. Dans le cadre d'un travail de diplôme suivi d'un travail complémentaire, les domaines d'enseignement de la mathématique et de la statistique géodésique se sont occupés de façon approfondie de la thématique de la transformation et du jugement et de la répartition des différences résiduelles y relatives.*

*Le présent article montre comment l'on peut évaluer les proportions d'erreurs systématiques avec la théorie de la collocation à l'aide de la transformation de Helmert. Cela peut servir à délimiter des régions de comportement de tension semblable. Ces régions peuvent alors être transcris dans le nouveau cadre de référence par une transformation d'affinités générale ou partielle (par ex. Helmert, TRANSINT, FINELTRA).*

In futuro, il lavoro degli ingegneri in geomatica SUP comprenderà sempre più spesso la trasformazione e l'interpolazione di punti in un nuovo quadro di riferimento. In un lavoro di diploma, con successiva elaborazione del tema, le discipline della matematica e della statistica geodetica si sono occupate in modo approfondito della tematica delle trasformazioni e della relativa valutazione e distribuzione degli scarti residui. Nell'articolo seguente si dimostra come il principio della collocation – partendo dall'esempio della trasformazione di Helmert – permetta di valutare le parti sistematiche di errore. Questo serve a delimitare campi con tensioni simili. Questi campi sono poi trasferibili, tramite una trasformazione affine (per es. Helmert, TRANSINT, FINELTRA) in nuovi quadri di riferimento.

B. Fischer, M. Schwaninger, B. Sievers

## Der Ansatz

Bei der herkömmlichen Ausgleichung nach Gauss-Markov mit dem funktionalen Modell

$$l = A \cdot x - v, \quad v^T P v = \min \quad (1)$$

wird davon ausgegangen, dass die Verbesserungen  $v$  an den Beobachtungen

normalverteilt sind. Sollen mit (1) die unbekannten Transformationsparameter  $x$  einer Helmerttransformation  $l(t) = A(t)x$  geschätzt werden, so bezeichnet  $t$  die Ausgangskoordinaten,  $l$  die Zielkoordinaten und die Koeffizientenmatrix  $A$  berechnet sich mit Hilfe der  $t$ .

Mit dem funktionalen Modell

$$l(t) = A(t)x + s(t) + n, \quad \alpha \cdot s^T R s + n^T P n = \min \quad (2)$$

wird zusätzlich versucht, systematische Abweichungen  $s$  auch noch zu erfassen. Die Beziehung  $l = Ax + s + n$  kann auf zwei Arten interpretiert werden. In der Kollokation ist  $Ax$  der Modellanteil und der Fehler  $s + n$  besteht aus zwei Teilen, wobei  $s$  den systematischen Anteil bezeichnet und Signal genannt wird. In der Auffassung der nichtparametrischen Regression ist das Modell durch  $Ax + s$  gegeben und aus dem parametrischen Anteil  $Ax$  sowie dem nichtparametrischen Anteil  $s$  zusammengesetzt. Für praktische Rechnungen sind die beiden Auffassungen gleichwertig. Der Unterschied besteht in der Behandlung des Signals  $s$  als stochastische bzw. nichtstochastische Grösse. Der zufällige, normalverteilte Fehler ist durch  $n$  («noise», Rauschen) gegeben, der Regularisierungsparameter  $\alpha$  beschreibt das Signal zu Rausch-Verhältnis. Die positiv definite Matrix  $R$  modelliert das Signalverhalten, die Gewichtsmatrix  $P$  analog zu (1) die Genauigkeit der Beobachtungen. Es stellen sich die Probleme:

- Wie soll man  $s$  beschreiben?
- Wie ist  $\alpha$  zu bestimmen?

Schätzungen für  $x$ ,  $s$ ,  $n$  hängen von  $\alpha$  ab. Die Interpolation einer solchen Transformation an Neupunkten umfasst die Berechnung von  $Ax + s$  in diesen Punkten. Weisen die Passpunkte systematische Fehler auf, führt der Ansatz (2) zu einer merklichen Genauigkeitssteigerung gegenüber einer herkömmlichen Transformation.

## Darstellung von $s$

Das Signal

$$s(t) = \sum_i k_i \cdot r(|t_i - t|) \quad (3)$$

wird als Linearkombination einer verschobenen Basisfunktion  $r$  dargestellt ( $k_i$  sind die Streckungsfaktoren der einzelnen Basisfunktionen). Die Elemente der Matrix  $R$  sind durch

$$R_{ij} = r(|t_i - t_j|) \quad (4)$$

gegeben. Folgende Basisfunktionen wurden im Rahmen unserer Arbeiten verwendet:

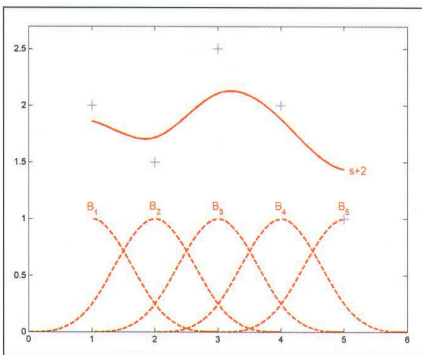


Abb. 1:  $s = 0.139 \cdot B_1 - 0.216 \cdot B_2 + 0.394 \cdot B_3 + 0.119 \cdot B_4 - 0.436 \cdot B_5$ , in der Abbildung um +2 nach oben verschoben.

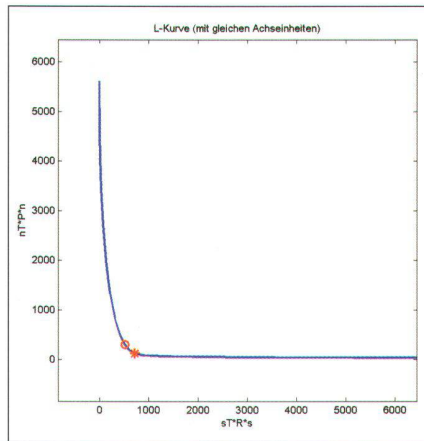


Abb. 2: \* größte Krümmung, ° kürzester Abstand zum Ursprung.

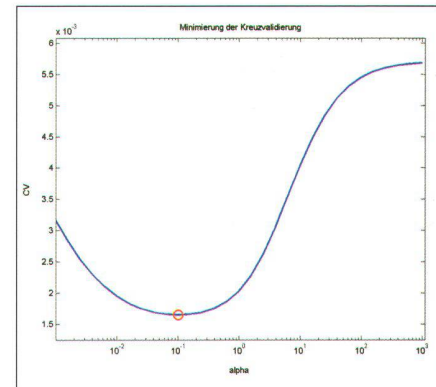


Abb. 3: ° kleinster CV-Wert.

- B-Splines vom Grad 0-3
- Gauss'sche Glockenkurve

Entsprechend der Interpretation von  $s$  als stochastische Grösse wird in der Kollokation die Basisfunktion als Autokorrelationsfunktion von  $s$  aufgefasst.

#### Bestimmung des Regularisierungsparameters $\alpha$

Zur Bestimmung des Regularisierungsparameters  $\alpha$  aus den Beobachtungen sind verschiedene Methoden vorgeschlagen worden.

- L-Kurve (mit Krümmungs- oder Distanzkriterium)
- Methode von Morozov

Die L-Kurve entsteht, wenn  $s(\alpha)^T R s(\alpha)$  und  $n(\alpha)^T P n(\alpha)$  gegeneinander aufgetragen werden. Die Kurve zeigt immer das L-förmige Aussehen wie in Abbildung 2. Bei der L-Kurven-Methode wird das  $\alpha$  gesucht, welches zum L-Kurvenpunkt mit der grössten Krümmung bzw. dem kürzesten Abstand zum Ursprung gehört. An der «Ecke» der L-Kurve wechselt die Lösung von signal- zu rauschdominiert. Bei der Methode von Morozov wird  $n$  vorgegeben und  $\alpha$  entsprechend bestimmt, d.h. auf der L-Kurve wird ein Punkt vorgegeben und das zugehörige  $\alpha$  berechnet.

#### Kreuzvalidierung

$\alpha$  wird so gewählt, dass eine zusätzliche Beobachtung einen möglichst geringen zufälligen Fehler CV aufweist (Abb. 3). CV wird mit Kreuzvalidierung berechnet.

#### Kollokation nach Kraus

Hier werden  $R$  und  $\alpha$  zusammen aus den Beobachtungen geschätzt.

## Praktische Rechnungen

Es wurden MATLAB-Programme entwickelt für:

- eindimensionale Regression und
- Helmerttransformation.

Tests wurden im Fall der Helmerttransformation vor allem mit dem LFP2 Netz Gelfingen (Kanton Luzern) und mit dem LFP2- bzw. Diagnosenetz Basel-Stadt berechnet (Abb. 4).

Wird das Signal richtig modelliert, so ist das Rauschen normalverteilt und enthält keine systematischen Anteile. Der Informationsgehalt der Beobachtungen ist so voll ausgeschöpft.

## Ergebnisse

Bei der heuristischen L-Kurven-Methode erhielten wir immer gute Resultate, ebenso mit der Morozov-Methode. Die Kreuz-

validierung versagt manchmal, da es vorkommen kann, dass CV kein sauberes Minimum aufweist. Die Methode von Kraus weist das Problem auf, dass die Schätzungen für die Kovarianzmatrix  $R$  positiv definit sein sollten, was häufig nicht zutrifft.

#### Literatur:

Ein Verzeichnis kann bei den Autoren angefordert werden.

Prof. Dr. Beat Fischer  
 Dipl. Ing. FH Michael Schwaninger  
 Prof. Beat Sievers  
 FHBB Fachhochschule beider Basel  
 CH-4132 Muttenz  
 b.fischer@fhbb.ch  
 mschwaninger@hotmail.com  
 b.sievers@fhbb.ch

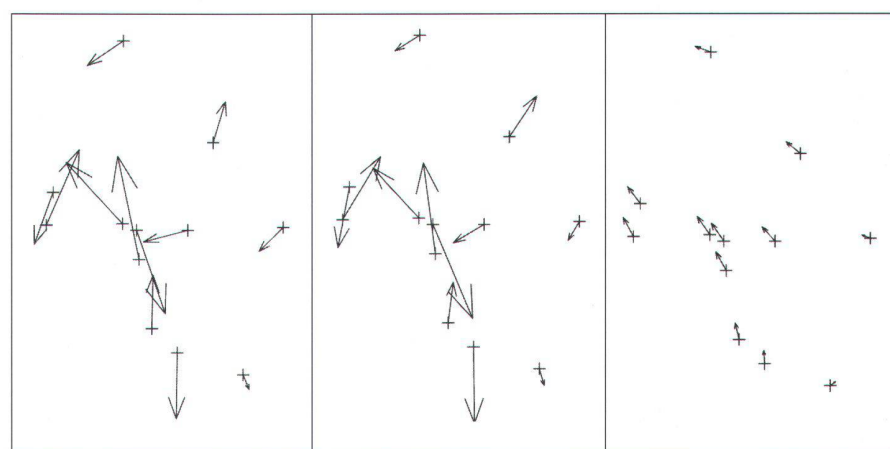


Abb. 4: Links die Restklaffungen einer Helmerttransformation einiger Punkte des LFP2-Netzes Gelfingen. Dieselben Daten wurden mit dem Kollokationsansatz ausgeglichen. Die Rausch-Vektoren (Mitte) und die Signalvektoren (rechts) zeigen deutlich den Unterschied zwischen dem zufälligen und dem systematischen Anteil der Restklaffungen.